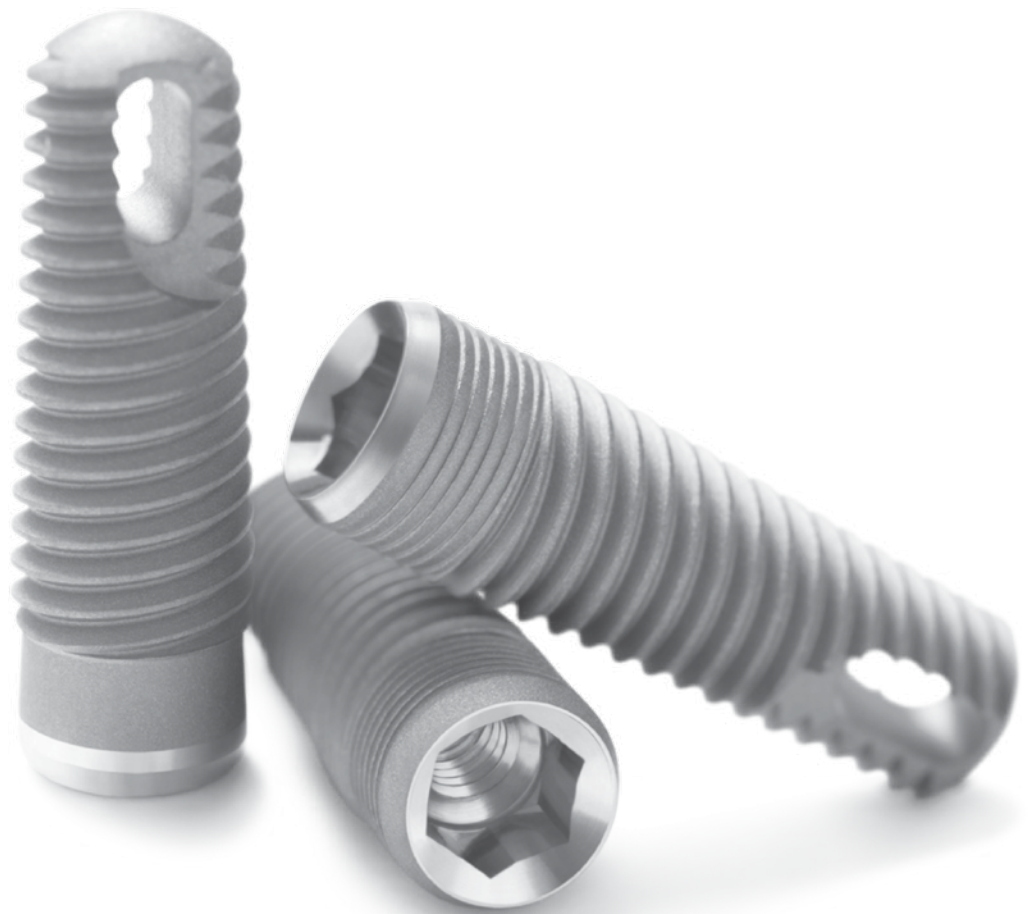


Impianto Tapered Screw-Vent®

Un patrimonio di performance



Panoramica dell'impianto TSV®

Con 20 anni di uso clinico e più di 6 milioni di impianti venduti, l'impianto Tapered Screw-Vent (TSV) si è guadagnato la fiducia di migliaia di chirurghi in tutto il mondo, i cui pazienti sono riusciti a ottenere esiti positivi. Questo successo è ben documentato con 130 paper peer-reviewed¹ e un tasso di sopravvivenza cumulativo del 98,7%.¹⁻¹⁴



Design Screw-Vent

Filettature di taglio apicali realizzate per un impatto di taglio immediato.

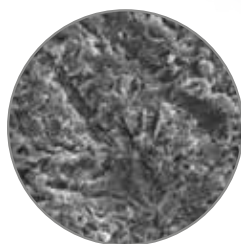
Corpo dell'impianto conico

Realizzato per stabilità primaria, il corpo conico in lega di titanio è sufficientemente resistente da garantire un funzionamento affidabile.^{1*} (Modello TSVT mostrato in figura)



Superficie in MTX® per la crescita di tessuto osseo sull'impianto

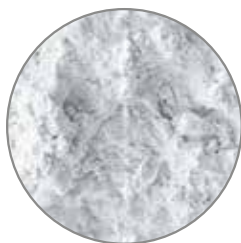
È stato documentato che la superficie microtesturizzata MTX consente di ottenere elevati livelli di contatto osso-impianto o di crescita di tessuto osseo sull'impianto.^{16, 17}



*1 dati si basano su analisi con sforzo ciclico condotte su impianti TSV per 5 milioni di cicli.
I risultati delle analisi precliniche non sono necessariamente indicativi della performance clinica.

Il sistema implantare TSV è famoso per le proprie prestazioni in quanto è stato progettato per offrire:

- Stabilità primaria^{7, 15, 18-20}
- Stabilità secondaria^{2-14, 16, 17}
- Preservazione dell'osso crestale²¹⁻²⁸
- Stabilità protesica^{21, 22, 29}
- Successo clinico^{2-14, 27, 28}



Elevato potenziale osteoconduttivo

Il rivestimento in HA MP-1[®] di Zimmer Biomet ha fino al 97% di contenuto di HA cristallino, un valore significativamente maggiore rispetto ad altri rivestimenti HA in commercio.^{1, 30}

Saldatura virtuale a freddo

Abutment
Impianto

Tecnologia Platform Plus[™]

È stato documentato che la connessione esagonale interna brevettata, adottata in combinazione con gli abutment Friction-Fit di Zimmer Dental, è in grado di proteggere l'osso crestale da forze occlusali concentrate.^{21, 22}

Micromovimenti crestali per il mantenimento del livello osseo

Le microscalanature coronali sono concepite per preservare l'osso crestale.³¹

Sono disponibili tre configurazioni per superfici coronali:

- Collare liscio da 1,0 mm (Modello TSV)
- Liscio da 0,5 mm con microscalanature crestali MTX (Modello TSVM)
- Testurizzata MTX totale con microscalanature crestali MTX (Modello TSVT)

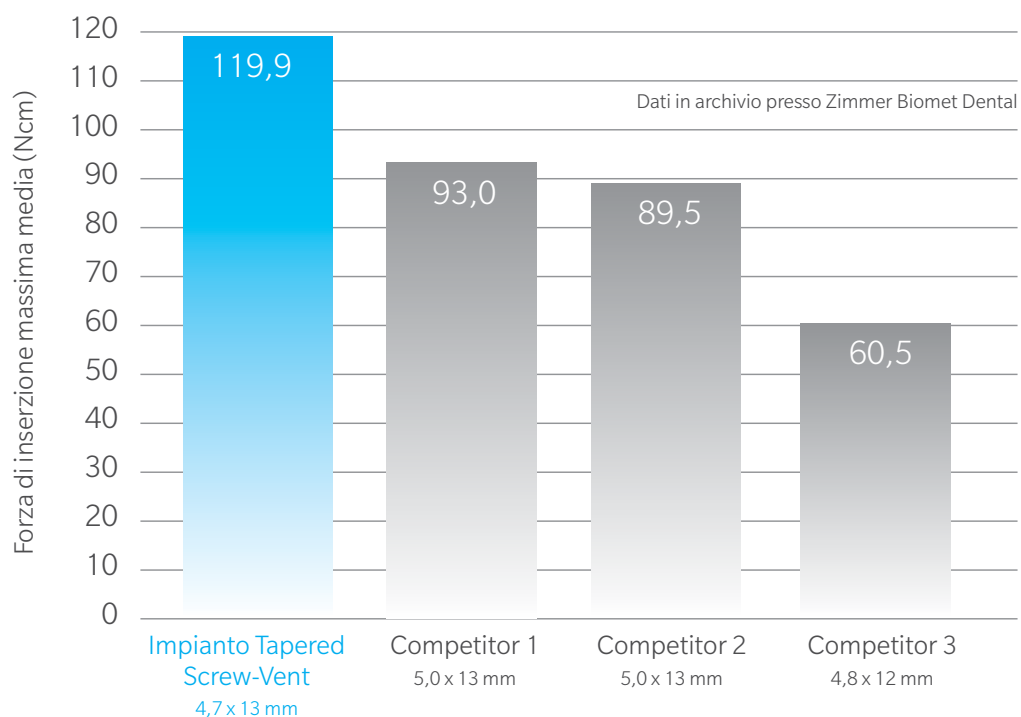


Progettati per essere stabili

Stabilità primaria

La stabilità primaria ottenuta mediante impianti Tapered Screw-Vent consente di eseguire il posizionamento e/o il carico immediato in pazienti adeguatamente selezionati.^{2,7,15}

- Le triple filettature sono realizzate per ottenere un contatto osseo profondo durante il posizionamento dell'impianto.¹⁵
- Il protocollo chirurgico per ossa a bassa densità consente la compressione dell'osso e fornisce stabilità aggiuntiva in zone di scarsa qualità.¹⁵
- Nelle ossa più dense, il trapano rifinitore a punta schiacciata consente un innesto osseo apicale per una stabilità iniziale.¹⁵



Stabilità secondaria

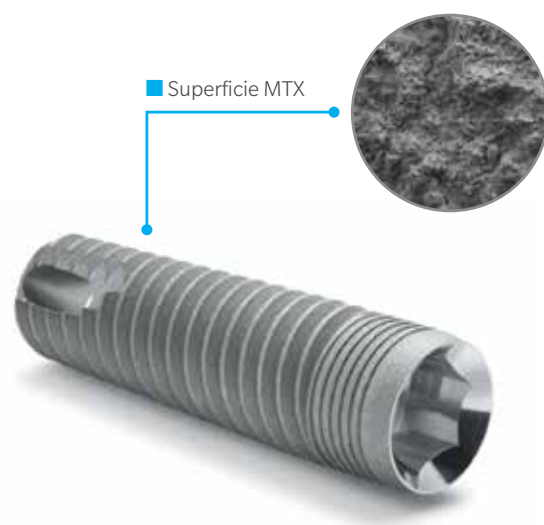
Biocompatibilità e resistenza

- Gli impianti Tapered Screw-Vent sono realizzati in lega di titanio di grado 5 scelta per la propria biocompatibilità³² e la propria resistenza.³³⁻³⁵
- I requisiti minimi in termini di resistenza a trazione e snervamento per questo materiale, stabiliti dall'American Society for Testing and Materials (ASTM) e dalla Organizzazione internazionale per la normazione (ISO), sono superiori del 32% e del 59% rispettivamente rispetto al più resistente titanio commercialmente puro disponibile.³³⁻³⁵
- Le specifiche di Zimmer Biomet Dental richiedono che la lega di titanio di grado 5 utilizzata per gli impianti Tapered Screw-Vent rispettin o superino gli standard combinati ASTM e ISO.¹



Vantaggi documentati della superficie MTX

- Contatto osso-impianto (BIC) e capacità osteoconduttiva di grado elevati.^{16, 17}
- Risultati clinici di successo in condizioni di carico immediato.^{2, 5, 7, 9-11}
- BIC superiore al 90% se confrontato al BIC del 42-77% ottenuto con superfici rivestite con TPS, sottoposte a sabbatura, acidatura, ossidazione e rivestite con HA collocate in seni umani innestati.¹⁷



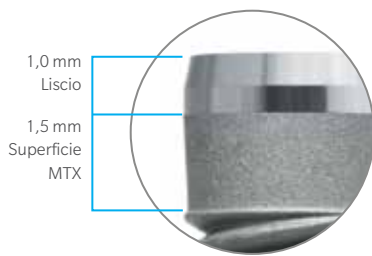
Vantaggi documentati del rivestimento MP-1 HA

- Cristallinità fino al 97%, riduzione delle fasi solubili e creazione del potenziale per incrementare la stabilità del rivestimento in vivo se confrontata ai rivestimenti HA con bassa cristallinità.^{1, 30}
- Contatto osso-impianto (BIC) in vivo di grado elevato³⁶
- Valori di coppia inversa maggiori e BIC maggiore a distanza di 3 e 6 settimane rispetto a una superficie idrofila sottoposta a sabbatura e acidatura.³⁷

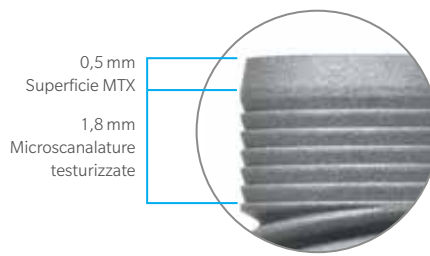


Opzioni coronali

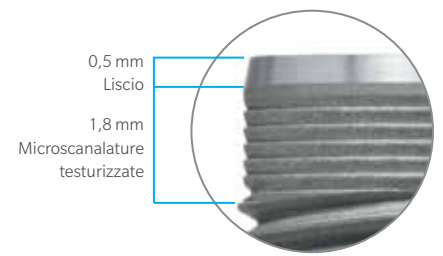
Gli impianti Tapered Screw-Vent vengono proposti con e senza microscanalature crestali e con collare liscio o testurizzazione in cima per massimizzarne la flessibilità, la gestione del tessuto e la manutenzione dell'osso crestale in diverse condizioni cliniche.^{14, 23-26, 31} Le configurazioni disponibili in impianti selezionati sono mostrate qui di seguito.



■ Modello: TSV



■ Modello: TSVT



■ Modello: TSVM

La differenza della tecnologia Platform Plus™

La tecnologia brevettata Platform Plus™ crea condizioni favorevoli per la preservazione del livello dell'osso crestale.^{21, 22}

- L'esagono interno crea una connessione Friction-Fit che protegge l'osso crestale dalla forza occlusale^{21, 22}
- La connessione a invito bisellato riduce le sollecitazioni orizzontali meglio delle connessioni testa a testa²⁹
- L'esagono interno profondo 1,5 mm distribuisce la forza di occlusione all'interno dell'impianto^{21, 22, 29}

Fig. A: Connessione Friction-Fit brevettata con invito bisellato e saldatura virtuale a freddo.

Fig. B: Ingrandimento maggiore dell'interfaccia bisellata unica e della tenuta dell'interfaccia intera.

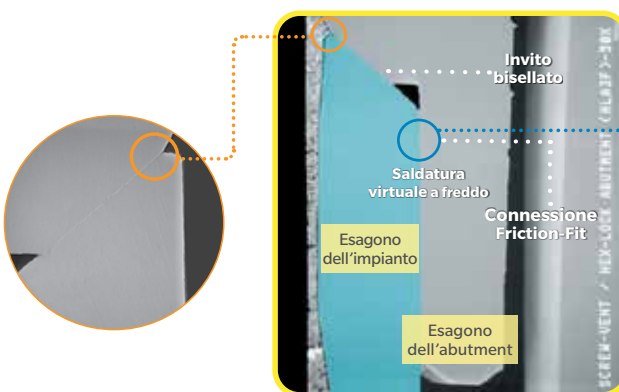
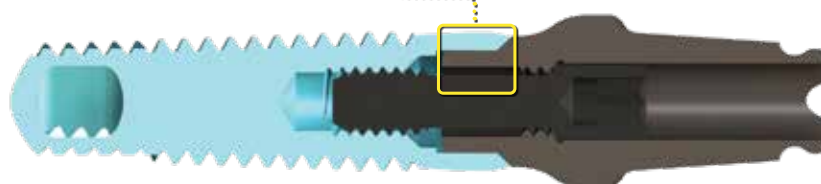
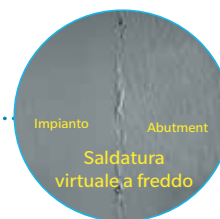


Fig. C: Ingrandimento maggiore della saldatura virtuale a freddo tra l'abutment e l'impianto.



Festeggiamo gli esiti clinici ottenuti grazie all'impianto Tapered Screw-Vent

Prospettiva dei tassi di sopravvivenza clinica documentata per 1.553 impianti Tapered Screw-Vent MTX:¹⁻¹⁴

- Tasso di sopravvivenza medio degli impianti 98,7% (range da 95,1% a 100%)
- Range dei tempi di follow-up da 3 a 120 mesi (media = 36,4 mesi).

Numerosi altri studi a breve termine (< 5 anni) hanno documentato ulteriormente la qualità e le prestazioni degli impianti Tapered Screw-Vent collocati immediatamente e in un secondo momento, come pure il carico immediato e ritardato.¹

I risultati individuali possono variare in base ai tipi di paziente e all'esperienza clinica dell'operatore.



Restauro finale.

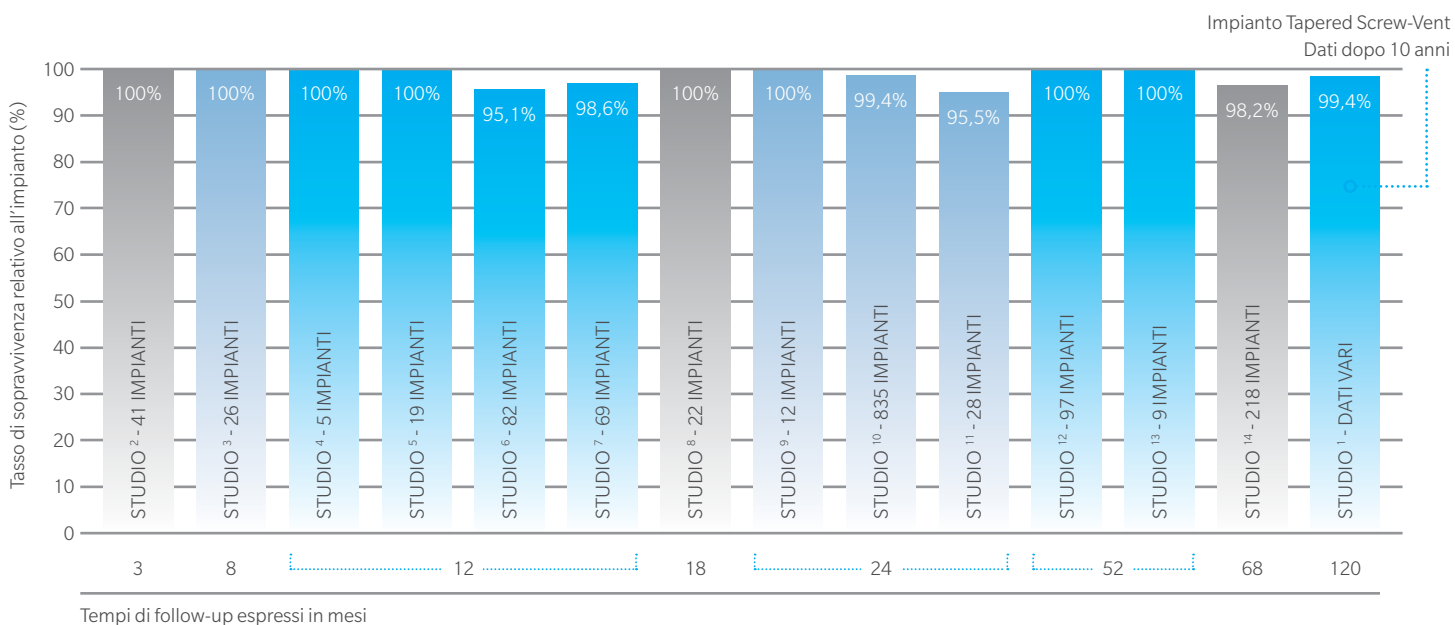


Raggi X nel momento del restauro finale.



Un follow-up di 10 anni non ha evidenziato alcuna perdita ossea.

Foto cliniche ©2012 Daulton Keith, D.D.S., F.I.C.D. Tutti i diritti riservati.



Informazioni per gli ordini

TSVT MTX: Impianti Tapered Screw-Vent con testurizzazione della superficie Full MTX e microscanalature

Include il supporto di montaggio/transfer e la vite di copertura



Diametro impianto	Piattaforma impianto	Connessione esagono interno	Lunghezza impianto				
			8,0 mmL	10 mmL	11,5 mmL	13 mmL	16 mmL
3,7 mmD	● 3,5 mmD	2,5 mmD	TSVTB8	TSVTB10	TSVTB11	TSVTB13	TSVTB16
4,1 mmD	● 3,5 mmD*	2,5 mmD	TSVT4B8	TSVT4B10	TSVT4B11	TSVT4B13	TSVT4B16
4,7 mmD	● 4,5 mmD	2,5 mmD	TSVTWB8	TSVTWB10	TSVTWB11	TSVTWB13	TSVTWB16
6,0 mmD	● 5,7 mmD	3,0 mmD	TSVT6B8	TSVT6B10	TSVT6B11	TSVT6B13	TSVT6B16

TSVM MTX: Sistemi implantari Tapered Screw-Vent con collo liscio da 0,5 mm, superficie in MTX e microscanalature

Include il supporto di montaggio/transfer e la vite di copertura



Diametro impianto	Piattaforma impianto	Connessione esagono interno	Lunghezza impianto				
			8,0 mmL	10 mmL	11,5 mmL	13 mmL	16 mmL
3,7 mmD	● 3,5 mmD	2,5 mmD	TSVMB8	TSVMB10	TSVMB11	TSVMB13	TSVMB16
4,1 mmD	● 3,5 mmD*	2,5 mmD	TSVM4B8	TSVM4B10	TSVM4B11	TSVM4B13	TSVM4B16
4,7 mmD	● 4,5 mmD	2,5 mmD	TSVMWB8	TSVMWB10	TSVMWB11	TSVMWB13	TSVMWB16
6,0 mmD	● 5,7 mmD	3,0 mmD	TSVM6B8	TSVM6B10	TSVM6B11	TSVM6B13	TSVM6B16

TSV MTX: Impianti Tapered Screw-Vent con superficie MTX

Include il supporto di montaggio/transfer e la vite di copertura.



Diametro impianto	Piattaforma impianto	Connessione esagono interno	Lunghezza impianto				
			8,0 mmL	10 mmL	11,5 mmL	13 mmL	16 mmL
3,7 mmD	● 3,5 mmD	2,5 mmD	TSVB8	TSVB10	TSVB11	TSVB13	TSVB16
4,1 mmD	● 3,5 mmD*	2,5 mmD	TSV4B8	TSV4B10	TSV4B11	TSV4B13	TSV4B16
4,7 mmD	● 4,5 mmD	2,5 mmD	TSVWB8	TSVWB10	TSVWB11	TSVWB13	TSVWB16
6,0 mmD	● 5,7 mmD	3,0 mmD	TSV6B8	TSV6B10	TSV6B11	TSV6B13	TSV6B16

TSVT MP-1 HA: Impianti Tapered Screw-Vent con collare testurizzato MTX, microscanalature e doppia superficie selettiva di transizione HA MP-1

Include il supporto di montaggio/transfer e la vite di copertura



Diametro impianto	Piattaforma impianto	Connessione Esagono interno	Lunghezza impianto				
			8,0 mmL	10 mmL	11,5 mmL	13 mmL	16 mmL
3,7 mmD	● 3,5 mmD	2,5 mmD	TSVTH8	TSVTH10	TSVTH11	TSVTH13	TSVTH16
4,1 mmD	● 3,5 mmD*	2,5 mmD	TSVT4H8	TSVT4H10	TSVT4H11	TSVT4H13	TSVT4H16
4,7 mmD	● 4,5 mmD	2,5 mmD	TSVTWH8	TSVTWH10	TSVTWH11	TSVTWH13	TSVTWH16
6,0 mmD	● 5,7 mmD	3,0 mmD	TSVT6H8	TSVT6H10	TSVT6H11	TSVT6H13	TSVT6H16

TSVM MP-1 HA: Impianti Tapered Screw-Vent con collare liscio da 0,5 mm, microscanalature e doppia superficie selettiva di transizione MP-1 HA

Include il supporto di montaggio/transfer e la vite di copertura



Diametro impianto	Piattaforma impianto	Connessione esagono interno	Lunghezza impianto				
			8,0 mmL	10 mmL	11,5 mmL	13 mmL	13 mmL
3,7 mmD	● 3,5 mmD	2,5 mmD	TSVMH8	TSVMH10	TSVMH11	TSVMH13	TSVMH16
4,1 mmD	● 3,5 mmD*	2,5 mmD	TSVM4H8	TSVM4H10	TSVM4H11	TSVM4H13	TSVM4H16
4,7 mmD	● 4,5 mmD	2,5 mmD	TSVMWH8	TSVMWH10	TSVMWH11	TSVMWH13	TSVMWH16
6,0 mmD	● 5,7 mmD	3,0 mmD	TSVM6H8	TSVM6H10	TSVM6H11	TSVM6H13	TSVM6H16

TSV MP-1 HA: Impianti Tapered Screw-Vent con doppia superficie selettiva di transizione MP-1 HA

Include il supporto di montaggio/transfer e la vite di copertura



Diametro impianto	Piattaforma impianto	Connessione Esagono interno	Lunghezza impianto				
			8,0 mmL	10 mmL	11,5 mmL	13 mmL	16 mmL
3,7 mmD	● 3,5 mmD	2,5 mmD	TSVH8	TSVH10	TSVH11	TSVH13	TSVH16
4,1 mmD	● 3,5 mmD*	2,5 mmD	TSV4H8	TSV4H10	TSV4H11	TSV4H13	TSV4H16
4,7 mmD	● 4,5 mmD	2,5 mmD	TSVWH8	TSVWH10	TSVWH11	TSVWH13	TSVWH16
6,0 mmD	● 5,7 mmD	3,0 mmD	TSV6H8	TSV6H10	TSV6H11	TSV6H13	TSV6H16

Viti per copertura chirurgica



Piattaforma impianto	N. articolo
● 3,5 mmD	TSC
● 4,5 mmD	TSCW
● 5,7 mmD	TSC5

* Mentre il colore codificato per la piattaforma dell'impianto Tapered Screw-Vent da 4,1 mmD è verde, la sequenza chirurgica dell'impianto è codificata col colore bianco sulla superficie del kit chirurgico.



N. componente: TSVKITG

Sistema del kit di strumenti

Dai sistemi completi che includono tutti gli strumenti ai kit di strumenti indipendenti e a un esclusivo Staging Block, il sistema del kit di strumenti si adatta in modo pratico a tutte le esigenze. Un'organizzazione degli strumenti intuitiva e codificata per colore rende la sequenza chirurgica semplice da apprendere e da seguire.



N. componente: DSKIT

Kit di stop per frese

Il Kit di stop per frese include un set di stop in titanio riutilizzabili realizzati per limitare la profondità di foratura a partire dal livello osseo durante la preparazione all'osteotomia. Con un comodo meccanismo di arresto "pick and go", questo kit conveniente è realizzato per ridurre la durata della seduta e incrementare la praticità clinica. Gli stop per frese sono destinati all'uso esclusivo con **frese Driva™** (Con la Serie d'oro o quelle tradizionali, contrassegnati con strisce longitudinali).



N. componente: GSMOD

Modulo frese per chirurgia guidata

Questo inserto del kit include sedici frese Driva EG e può essere collegato al kit chirurgico Tapered Screw-Vent per fornire le frese aggiuntive richieste per la chirurgia guidata.



N. componente: TADKIT

Kit di adattatori per tubi

Realizzati per adattarsi ai tubi posizionati all'interno del modello e alle guide chirurgiche del software, questi strumenti chirurgici orientano le frese e forniscono controllo posizionale e angolare.



N. componente: NPMODG

Modulo chirurgico NP per impianti Eztetic®

Questo inserto del kit include la strumentazione aggiuntiva richiesta per posizionare l'impianto Eztetic da 3,1 mm di diametro, che rappresenta una soluzione potente e compatta per spazi anteriori ridotti.

1. Dati in archivio Zimmer Biomet Dental.
2. Shiigai T. Pilot study in the identification of stability values for determining immediate and early loading of Implants. *J Oral Implantol.* 2007;33:13-22.
3. Park SH, Lee KW, Oh TJ, Misch CE, Shotwell J, Wang HL. Effect of absorbable membranes on sandwich bone augmentation. *Clin Oral Implants Res.* 2008;19:32-41.
4. Steigmann M, Wang HL. Esthetic buccal flap for correction of buccal fenestration defects during flapless immediate implant surgery. *J Periodontol.* 2006; 77:517-522.
5. Lee CYS. Immediate load protocol for anterior maxilla with cortical bone from mandibular ramus. *Implant Dent.* 2006;15:153-159.
6. Cannizzaro G, Felice P, Leone M, Viola P, Esposito M. Early loading of implants in the atrophic posterior maxilla: lateral sinus lift with autogenous bone and Bio-Oss versus crestal mini sinus lift and 8-mm hydroxyapatite-coated implants. A randomised controlled clinical trial. *Eur J Oral Implantol.* 2009;2:25-38.
7. Siddiqui AA, O'Neal R, Nummikoski P, Pituch D, Ochs M, Huber H, Chung W, Phillips K, Wang IC. Immediate loading of single-tooth restorations: one-year prospective results. *J Oral Implantol.* 2008;34:208-218.
8. Ormianer Z, Schirotli G. Maxillary single-tooth replacement utilizing a novel ceramic restorative system: results to 30 months. *J Oral Implantol.* 2006;32: 190-199.
9. Artzi Z, Parsori A, Nemcovsky CE. Wide-diameter implant placement and internal sinus membrane elevation in the immediate postextraction phase: clinical and radiographic observations in 12 consecutive molar sites. *Int J Oral Maxillofac Implants.* 2003;18:242-249.
10. Khayat PG, Milliez SN. Prospective clinical evaluation of 835 multithreaded Tapered Screw-Vent implants: results after two years of functional loading. *J Oral Implantol.* 2007;34:225-231.
11. Ormianer Z, Garg AK, Palti A. Immediate loading of implant overdentures using modified loading protocol. *Implant Dent.* 2006;15:35-40.
12. Lee CYS, Rohrer MD, Prasad HS. Immediate loading of the grafted maxillary sinus using platelet rich plasma and autogenous bone: a preliminary study with histologic and histomorphometric analysis. *Implant Dent.* 2008;17:59-73.
13. Lee CYS, Hasegawa H. Immediate load and esthetic zone considerations to replace maxillary incisor teeth using a new zirconia implant abutment in the bone grafted anterior maxilla. *J Oral Implantol.* 2008;34:259-267
14. Ormianer Z, Palti A. Long-term clinical evaluation of tapered multi-threaded implants: results and influences of potential risk factors. *J Oral Implantol.* 2006;32:300-307.
15. Rosenlicht JL. Advancements in soft bone implant stability. *West Indian Dent J* 2002; 6: 2-7.
16. Trisi P, Marcato C, Todisco M. Bone-to-implant apposition with machined and MTX microtextured implant surfaces in human sinus grafts. *Int J Periodontics Restorative Dent* 2003; 23(5): 427-437.
17. Todisco M, Trisi P. Histomorphometric evaluation of six dental implant surfaces after early loading in augmented human sinuses. *J Oral Implantol.* 2006;32(4): 153-166.
18. El Chaar E, Bettach R. Immediate placement and provisionalization of implant-supported, single-tooth restorations: a retrospective study. *Int J Periodontics Restorative Dent* 2011; 31(4).
19. Consolo U, Travaglini D, Todisco M, Trisi P, Galli S. Histologic and biomechanical evaluation of the effects of implant insertion torque on peri-implant bone healing. *J Craniofac Surg.* 2013; 24: 860-865.
20. Trisi P, Todisco M, Consolo U, Travaglini D. High versus low implant insertion torque: a histologic, histomorphometric, and biomechanical study in the sheep mandible. *The Int J Oral Maxillofac Implants* 2011; 26: 837-849.
21. Mihalko WM, May TC, Kay JF, Krause WP. Finite element analysis of interface geometry effects on the crestal bone surrounding a dental implant. *Implant Dent.* 1992;1:212-217.
22. Chun HJ, Shin HS, Han CH, Lee SH. Influence of implant abutment type on stress distribution in bone under various loading conditions using finite element analysis. *Int J Oral Maxillofac Implants.* 2006;21:105-202.
23. Brunette DM, Chehroudi B. The effects of the surface topography of micromachined titanium substrata on cell behavior in vitro and in vivo. *J Biomech Eng* 1999;121(1):49-75.
24. Cosyn J, Sabzevar MM, de Wilde P, de Rouck. Two-piece implants with turned versus microtextured collars. *J Periodontol* 2007;78:1657-1663.
25. Mazor Z, Cohen DK. Preliminary 3-dimensional surface texture measurement and early loading results with a microtextured implant surface. *Int J Oral Maxillofac Implants* 2003;18(5):729-738.
26. Chehroudi B, Gould TRL, Brunette DM. Effects of a grooved titanium-coated implant surface on epithelial cell behavior in vitro and in vivo. *J Biomed Mater Res* 1989;23:1067-1085.
27. Harel N, Piek D, Livne S, Palti A, Ormianer Z. A 10-Year retrospective clinical evaluation of immediately loaded tapered maxillary implants. *Int J Prosthodont* 2013; 26: 244-249.
28. Ormianer Z, Palti A. The use of tapered implants in the maxillae of periodontally susceptible patients: 10-Year Outcomes. *Int J Oral Maxillofac Implants* 2012; 27: 442-448.
29. Binon PP. The evolution and evaluation of two interference-fit implant interfaces. *Postgraduate Dent.* 1996;3:3-13.
30. Burgess AV, et al. Highly crystalline MP-1 hydroxylapatite coating. Part I: in vitro characterization and comparison to other plasma-sprayed hydroxylapatite coatings. *Clin Oral Implants Res.* 1999;10:245-256.
31. Shin SY, Han DH. Influence of a microgrooved collar design on soft and hard tissue healing of immediate implantation in fresh extraction sites in dogs. *Clin Oral Implants Res.* 2010;21:804-814.
32. American Society for Testing and Materials Committee on Standards. Designation B 348-94. Standard specification for titanium. Annual Book of ASTM Standards. Vol. 02.04. Philadelphia: American Society for Testing and Materials, 1994: 141-146.
33. American Society of Testing and Materials International. Designation F67-06. Standard specification for unalloyed titanium for surgical implant applications. 2006.
34. International Organization for Standardization. ISO 5832-2: Implants for surgery – metallic materials – part 2: unalloyed titanium. Disponibile online al link: <http://www.iso.org>.
35. International Organization for Standardization. ISO 5832-2: Implants for surgery – metallic materials – part 3: wrought titanium. 1996. Disponibile online al link: <http://www.iso.org>.
36. Chang YL, et al. Biomechanical and morphometric analysis of hydroxyapatite-coated implants with varying crystallinity. *J Oral Maxillofac Surg.* 1999;57:1096-1108.
37. Lee JW, et al. Preliminary Biomechanical and Histological Evaluations of Implants with Different Surfaces in an Ovine Model: Abstract presented at AO 2013 Conference, Tampa, Florida. (Study of 60 implants[30 each – Zimmer MP-1 HA and Straumann SLActive] placed bilaterally by a licensed clinician in femoral condyles of ovines [6 implants per ovine]).



Per informazioni: +39-0438-37681 o
zimmerbiometdental.it

Zimmer Biomet Dental
Global Headquarters
4555 Riverside Drive
Palm Beach Gardens, FL 33410
Tel: +1-561-776-6700
Fax: +1-561-776-1272

Zimmer Dental Italy srl
Viale Italia n. 205/D
31015 Conegliano (TV)
Tel.: +39-0438-37681
Fax: +39-0438-553181
zimmerdental.italy@zimmerbiomet.com

Salvo diverse indicazioni, tutti i marchi qui indicati sono proprietà di Zimmer Biomet. Tutti i prodotti sono fabbricati da una o più sussidiarie del dentale controllate da Zimmer Biomet Holdings, Inc., e distribuite e commercializzate da Zimmer Biomet Dental e i suoi Marketing Partner autorizzati. Per maggiori informazioni vedere l'etichetta del prodotto o le istruzioni per l'uso specifiche. Si prega di tenere presente che non tutti i prodotti e i materiali rigenerativi sono registrati o disponibili in tutti i paesi. Il presente materiale è destinato esclusivamente a medici, non costituisce un parere o raccomandazioni di natura medica. È vietata la distribuzione a qualsiasi altro destinatario. Il materiale non può essere copiato o ristampato senza l'esplicito consenso scritto di Zimmer Biomet Dental. ZB1103IT REVA 04/20 ©2020 Zimmer Biomet. Tutti i diritti riservati.

